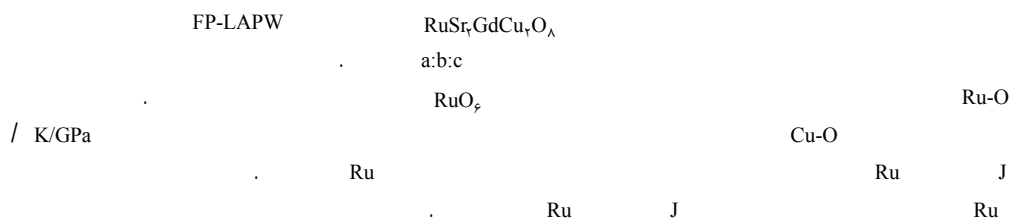


## RuSr<sub>x</sub>GdCu<sub>y</sub>O<sub>z</sub>

(MRL)

sfallah@physics.sharif.edu :



بوده اما مؤلفه آنتی فرومغناطیس غالب‌تر است. اندازه‌گیری‌های تراپرد و ظرفیت گرمایی نشان می‌دهد که Ru-۱۲۱۲ مانند یک ابررسانای کوپراتی کم آلاییده رفتار می‌کند و گذار ابررسانایی در دمای  $T_{SC} = 45\text{ K}$  رخ می‌دهد [۴]. همزیستی ابررسانایی و نظم فرومغناطیسی در این ترکیب این سوال را ایجاد می‌کند که چگونه دو حالت متضاد در کنار یکدیگر سازگاری دارند، و آیا این دو حالت ماده بدون هیچ برهم‌کنشی باهم همزیستی می‌کنند یا نه؟

جانشانی‌های شیمیایی که روی Ru-۱۲۱۲ انجام گرفته نشان داده است که دمای گذار ابررسانایی  $T_{SC}$  و مغناطیسی  $T_M$  به طور مخالف تحت تأثیر قرار می‌گیرد که نشان دهنده تقابل

ترکیب لایه‌ای RuSr<sub>x</sub>GdCu<sub>y</sub>O<sub>z</sub> (Ru-۱۲۱۲) به عنوان یک سیستم منحصر به فرد برای مطالعه برهم کنش ابررسانایی (SC) و فرومغناطیس (FM)، از اهمیت بسیار زیادی برخوردار است. این ترکیب شامل لایه‌های  $\text{RuO}_6$  و  $\text{CuO}_2$  است که یک در میان روی هم قرار گرفته‌اند. ممان فرومغناطیسی صفحات Ru-O با ابررسانایی که از صفحات Cu-O نشات می‌گیرد در گستره دمایی وسیعی همزیستی دارد [۱ - ۳]. در این ترکیب یک نظم بلند برد مغناطیسی در دمای  $T_M = 132\text{ K}$  رخ می‌دهد. در غیاب میدان مغناطیسی خارجی، پارامتر نظم مغناطیسی هم شامل مؤلفه فرومغناطیس و هم آنتی فرومغناطیس

یافته خطی به علاوه اوربیتال‌های موضعی (LAPW+lo) استفاده کرده‌ایم. در این محاسبات از تقریب گراديان تعیین یافته PBE-GGA و همکارانش برای پتانسیل همبستگی-تبادلی استفاده کردیم [۱۱]. با توجه به اینکه اثرات همبستگی الکترونی در سیستم‌های همبسته قوی را می‌توان در قالب LDA+U در نظر گرفت، اما چون ترکیب  $\text{RuSr}_x\text{GdCu}_y\text{O}_z$  رفتار فلزی حتی در صفحه Ru-O از خود نشان می‌دهد، این اثرات بسیار ضعیف می‌باشند. پس از تست همکرایی پارامترهای محاسباتی پارامتر  $RK_{\max}$  و تعداد نقاط  $k$  به ترتیب ۷ و ۷۰۰ انتخاب شدند. محاسبات انجام شده، با دقت  $1 \times 10^{-5} \text{ eV}$  در محاسبه انرژی کل انجام گرفته است. شعاع‌های مافین تین مقادیر  $1/9 \text{ a.u}$  (Cu),  $(\text{Gd})2/4 \text{ a.u}$ ,  $(\text{Sr})2/4 \text{ a.u}$ ,  $(\text{Ru})1/9 \text{ a.u}$  و  $1/6 \text{ a.u}$  (O) انتخاب شدند. به علاوه محاسبات در فشارهای مختلف به منظور امکان مقایسه با همین پارامترهای ذکر شده انجام پذیرفته است.

در این محاسبات از ساختار بلوری تجربی با گروه فضایی  $P4/mcm$  که از اندازه‌گیری پراش نوترونی به دست آمده بود استفاده کردیم [۳]. ساختار بلوری Ru-1212 شبیه ساختار  $\text{YBa}_2\text{Cu}_3\text{O}_7$  می‌باشد که در آن اتم‌های Y, Ba و اتم‌های مس زنجیره به ترتیب توسط اتم‌های Gd, Sr و Ru جایگزین شده‌اند. نتایج حاصل از بهینه سازی مکان اتم‌ها در تقریب GGA در جدول ۱ داده شده است که توافق خوبی با داده‌های تجربی دارد [۳]. ما از این داده‌های بهینه شده، برای محاسبات اثر فشار استفاده کردیم.

در این ساختار یک چرخش در هشت وجهی  $\text{RuO}_4$  به اندازه ۱۴ درجه حول محور c وجود دارد که به دلیل عدم انتظام بین طول پیوند  $\text{Ru}-\text{O}$  و  $\text{Cu}-\text{O}$  می‌باشد. این چرخش منجر به تشکیل ابرساختار  $c \times \sqrt{2}a \times \sqrt{2}b$  که در آزمایش پراش الکترونی دیده شده می‌شود. شکل ۱ نتیجه پراش الکترونی را در ترکیب Ru-1212 نشان می‌دهد که در آن چرخش‌های غیر همفاز وجود دارد که توسط مرزهایی به ضخامت  $a$  از هم جدا شده‌اند [۱۲].

شدید بین ابررسانایی و مغناطیس می‌باشد [۵ و ۶]. اما چون جانشانی‌های شیمیایی معمولاً چندین پارامتر را همزمان تحت تأثیر قرار می‌دهند و منجر به تغییر ریزساختار ترکیب می‌شوند، بهترین رهیافت برای مطالعه اندرکش ابررسانایی و فرومغناطیس می‌تواند از تأثیر فشار هیدرواستاتیکی روی فاز ابررسانایی و فرومغناطیس حاصل شود. آزمایش‌های فشار هیدرواستاتیکی در ترکیب Ru-1212 نشان می‌دهد که  $T_{SC}$  و  $T_M$  به طور خطی با فشار افزایش پیدا می‌کنند اما این افزایش در دماهای گذار ابررسانایی و مغناطیسی، با آهنگ متفاوتی رخ می‌دهد. این آهنگ افزایش برای  $T_M$  به طور قابل ملاحظه‌ای بیشتر از  $T_{SC}$  بوده به طوری که  $dT_M/dp \approx 6/7 \text{ K/GPa}$  و  $dT_{SC}/dp \approx 1 \text{ K/GPa}$  می‌باشد [۷]. آهنگ نسبتاً کم افزایش دمای گذار ابررسانایی نسبت به دمای گذار مغناطیسی را می‌توان به تقابل بین فازهای ابررسانایی و فرومغناطیس نسبت داد، زیرا آهنگ افزایش دمای گذار ابررسانایی برای ابررسانای کوپراتی کم آلاییده معادل با دمای گذار  $45 \text{ K}$ ، نسبتاً بیشتر از این ترکیب می‌باشد.

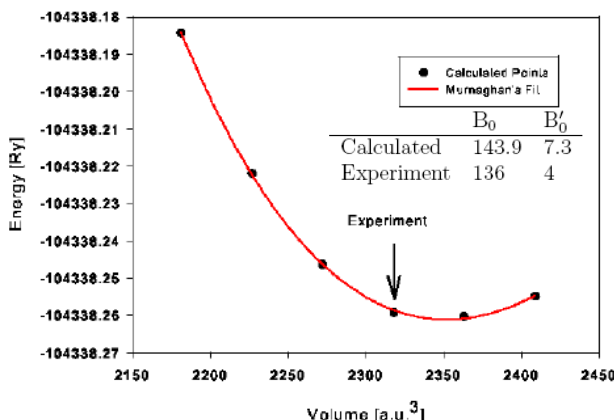
از نقطه نظر محاسباتی، پیکت (Pickett) و ناکامورا (Nakamura) ساختار الکترونی ترکیب Ru-1212 را بررسی کرده‌اند و همزیستی ابررسانایی و مغناطیس را با توجه به جدایی حالت‌های الکترونی در صفحات  $\text{RuO}_4$  و  $\text{CuO}_2$  توجیه کرده‌اند [۸ و ۹].

ما در این مقاله، از رهیافت محاسباتی به بررسی تأثیر فشار روی خواص ابررسانایی و مغناطیسی در ترکیب Ru-1212 می‌پردازیم و چون فشار هیدرواستاتیکی باعث نزدیک شدن صفحاتی که ابررسانایی و مغناطیس در آنها می‌شود، روش مناسبی برای مطالعه میکروسکوپی اندرکش ابررسانایی و فرومغناطیسی به شمار می‌رود. هدف از این محاسبات، بررسی میکروسکوپی تأثیر فشار روی دمای گذار ابررسانایی و مغناطیسی می‌باشد.

در این تحقیق از کد محاسباتی Wien2K برای انجام محاسبات استفاده شده که بر پایه نظریه تابعی چگالی استوار است [۱۰]. برای حل معادلات حاکم بر مسئله از روش امواج تخت بهبود

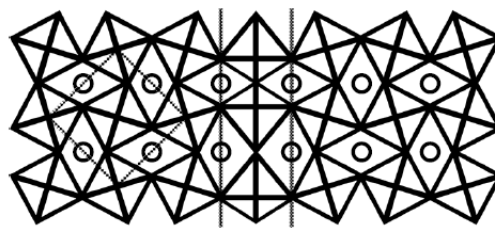
جدول ۱. مکان‌های اتمی محاسبه شده در تقریب GGA.

	Theory			Experiment (Ref.۳)		
atom	x	y	z	x	y	z
Ru	◦	◦	◦	◦	◦	◦
Sr	◦/۵	◦	◦/۱۸۹۹	◦/۵	◦	◦/۱۹۰۳
Gd	◦/۵	◦	◦/۵	◦/۵	◦	◦/۵
C	◦	◦	◦/۳۵۶۷	◦	◦	◦/۳۵۴۷
O <sub>Ru</sub>	◦/۱۸۴۴	◦/۶۸۴۴	◦	◦/۱۸۸۸	◦/۶۸۸۸	◦
O <sub>Cu</sub>	◦/۲۵	◦/۲۵	◦/۳۷۱۷	◦/۲۵	◦/۲۵	◦/۳۷۱۴
O <sub>apical</sub>	◦	◦	◦/۱۶۸۱	◦	◦	◦/۱۶۵۳



شکل ۲. بهینه سازی حجم سلول واحد در تقریب GGA. داده‌های تجربی و داده‌های محاسباتی در شکل برای مقایسه آمده است.

و مشتق آن بر حسب فشار  $B'$  را نشان می‌دهد که با دقت ۵٪ توافق خوبی با نتایج تجربی دارد [۱۳].



شکل ۱. چرخش غیر همفاز هشت وجهی‌های  $\text{RuO}_6$ .

نتایج محاسبات نشان می‌دهد که پس از بهینه سازی مکان اتم‌ها، نیروی وارد بر اتم O<sub>Ru</sub> کاملاً صفر نشده و در راستای (۱۱۰) بر این اتم نیرو وارد می‌شود. این نیرو منجر به ایجاد تنش پیچشی در صفحات  $\text{RuO}_6$  می‌شود. و این عامل باعث تشکیل مرزهای با چرخش‌های غیر همفاز می‌شود تا تنش کل در سیستم را کاهش دهد.

در این بررسی به منظور مطالعه اثر فشار هیدرواستاتیکی، یک سری محاسبات با تغییر حجم سلول واحد با ثابت نگه داشتن a:b:c نسبت گرفت. این تغییر حجم تا فشار ۶GPa صورت گرفت، زیرا نتایج تجربی [۱۳] نشان می‌دهد که تا این فشار، حجم سلول واحد به شکل ایزوتروپیک تغییر می‌کند و بنابراین نیازی به بهینه سازی نسبت a/c نبود. شکل ۲ نتایج بهینه سازی حجم را به همراه پارامترهای مدول حجمی کپه‌ای

همان‌طور که می‌دانیم ترکیبات ابررسانای دمای بالا از ساختارهای عایق گونه مشتق می‌شوند که با تزریق حامل‌های حفره خاصیت ابررسانایی در آنها ایجاد می‌شود. بنابراین، حاملین حفره n نقش مهمی در این ترکیبات ایفا می‌کنند. روش LAPW امکان تحلیل چگالی باری درون کرات مافین تین را بر حسب اعداد کوانتمومی a و m را فراهم می‌کند. اما

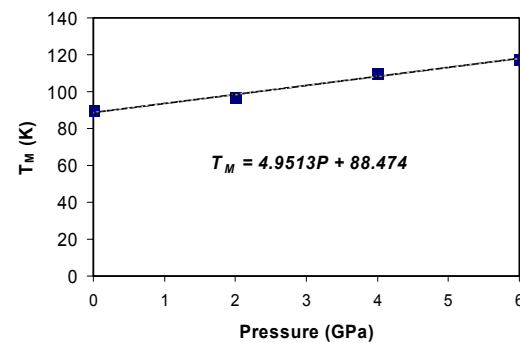
جدول ۲. چگالی بارهای جزئی بر حسب فشار.

Pressure GPa	Cu-d <sub>x</sub> <sup>۲</sup> -y <sup>۲</sup>	O-p <sub>x</sub>	O-p <sub>y</sub>
۰	۰/۷۲۸۹	۰/۴۵۴۹	۰/۵۴۸۵
۱	۰/۷۲۶۲	۰/۴۵۵۳	۰/۵۴۹۰
۲	۰/۷۲۴۳	۰/۴۵۵۶	۰/۵۴۹۵
۳	۰/۷۲۳۷	۰/۴۵۶۲	۰/۵۵۰۰
۴	۰/۷۲۲۷	۰/۴۵۶۷	۰/۵۵۰۱

بودن شعاع مافین تین حاصل شده است که باعث افزایش بار درون کرات می‌شود. اما اکسیژن‌های صفحات مسی رفتار متفاوتی دارند. این افزایش چگالی باری در مقایسه با کاهش چگالی باری در اتم مس کمتر است و از مسئله ثابت نگه داشتن شعاع کرات حاصل می‌شود. از این رو تأثیر کلی فشار باعث تریق حفره با آهنگ  $2\text{hole/GPa}$  می‌شود. با استفاده از مدل انتقال بار آهنگ تغییر دمای گذار ابررسانایی را از طریق رابطه  $\frac{dT_C}{dP} = \gamma T_C^{\max} \beta (n_{opt} - n)$  می‌توان ارزیابی کرد که منجر به  $\frac{dT_C}{dP} = 1/6 \text{ K/GPa}$  می‌شود. این نتیجه از مقدار تجربی بیشتر بوده [۷] که می‌تواند به دلیل پراکندگی‌های مغناطیسی حامل‌های بار در صفحات CuO<sub>۲</sub> باشد.

### Ru

ما در محاسبات کوپلاژ تبادلی J بین ممان‌های Ru را با محاسبه انرژی دو نظم مغناطیسی FM و AFM و با استفاده از هامیلتونی هایزنبیگ  $H = \sum_{j,i} J_{ij} S_i S_j$  به دست آوردیم. اختلاف انرژی بین دو ساختار مغناطیسی به صورت  $\Delta E = z |J| S^z$  در می‌آید که در آن  $z=4$  تعداد همسایه‌های اول اتمهای Ru و  $S=3/2$  می‌باشد. شکل ۳، نمودار تغییرات دمای گذار مغناطیسی را نشان می‌دهد که در تقریب نظریه میدان متوسط به دست آمده و با اعمال فشار افزایش می‌یابد. آهنگ افزایش دمای گذار مقدار تقریبی  $5/0 \text{ K/GPa}$  که با تجربه توافق خوبی دارد [۷].



شکل ۳. نمودار تغییرات دمای گذار مغناطیسی محاسبه شده بر حسب فشار.

بررسی چگالی باری برای فشارهای مختلف با ثابت نگه داشتن شعاع‌های مافین تین این پیچیدگی را ایجاد می‌کند که چون مقدار بار درون کرات به دلیل کاهش حجم افزایش می‌یابد، امکان بررسی را مشکل می‌کند. به عبارت دیگر، با اعمال فشار حجم سلول واحد کاهش یافته اما به دلیل اینکه شعاع‌های کرات ثابت باقی مانده‌اند مقداری بار به داخل کرات کشیده شده و باعث افزایش بارهای جزئی به داخل کرات می‌شوند. با این وجود هنوز هم می‌توان این آنالیز بارهای جزئی را برای تعیین روند تغییر چگالی باری به کار برد. جدول ۲ بارهای جزئی  $d_x^2 - y^2$ ،  $p_x$  و  $p_y$  را برای اتم‌های Cu و اکسیژن صفحات مس نشان می‌دهد. بارهای جزئی اتم‌های مختلف از فایل case.scf که در دادهای خروجی نرم افزار Wien<sup>۲</sup>k می‌باشد، به دست آمده است.

با توجه به این جدول، بارهای اتم‌های مس یک کاهش در اثر فشار را نشان می‌دهد. توجه کنید که این اثر علی‌رغم ثابت

حفره در صفحات  $\text{CuO}_6$  می‌شوند. همین‌طور با اعمال فشار ممان مغناطیسی اتم‌های Ru کاهش یافته و قدرت برهم‌کنش تبادلی J بین اتم‌های Ru افزایش می‌یابد.

این پژوهش توسط قطب علمی سیستم‌های پیچیده و ماده چگال دانشکده فیزیک (www.cscm.ir) و معاونت پژوهشی و فناوری دانشگاه صنعتی شریف حمایت شده است.

محاسبات الکترونی در فشارهای مختلف برای ترکیب  $\text{RuSr}_x\text{GdCu}_2\text{O}_8$  انجام گرفت. پارامترهای ساختاری محاسبه شده توافق خوبی با نتایج تجربی داشتند. به دلیل وجود نیروهای باقی مانده در مکان اتم  $\text{O}_{\text{Ru}}$  تنش‌های پیچشی در سیستم القا شده که دلیل مشاهده چرخش‌های غیر همفاز در هشت وجهی‌های  $\text{RuO}_6$  می‌باشد. اعمال فشار باعث کاهش چگالی بارهای جزئی در اوربیتال‌های  $t_{2g}-d_{x^2-y^2}$  شده که مسئول ابررسانش هستند، شده و به طور موثر باعث تزریق

- (2003) 337.
8. K Nakamura, K T Park, et.al. *Phys. Rev. B* **63** (2000) 024507.
  9. W E Pickett, R Weht, and A B Shick, *Phys. Rev. Lett.* **83** (1999) 3713.
  10. P Blaha, K Schwarz, G K H Madsen, D Kvasnicka, and J Luitz, WIEN2k, Vienna University of Technology, Austria, 2001.
  11. J P Perdew, K Burke, *Phys. Rev. Lett.* **77** (1996) 3865.
  12. O I Lebedev, et.al. *Phys. Rev. B* **73** (2006) 224524.
  13. G Oomi, et.al. *J. Phys.: Condens. Matter* **14** (2002) 10747.

1. L Bauernfeind, W Widder, *Physica C* **254** (1995) 151.
2. L Bauernfeind, W Widder, *Phys. Rev. B* **60** (1995) 7512.
3. O Chmaissem, J D Jorgensen, *Phys. Rev. B* **61** (2000) 6401.
4. J L Tallon, J W Loram, et.al. *Phys. Rev. B* **61** (2000) R6471.
5. P Mandal, A Hassen, et.al. *Phys. Rev. B* **65** (2002) 144506.
6. P W Klamut, B Dabrowski, et.al. *Physica C* **350** (2001) 24.
7. B Lorenz, R L Meng, and C W Chu, *Physica C* **383**